

# 坡地集水區排水系統調查試驗研究

## Experimental Investigation on Drainage System for Slopeland Watersheds

臺灣大學農工系副教授

吳 銘 塘

Ming-tarng Wu

臺灣大學農工系講師

陳 增 壽

Tzen-show Chen

臺灣大學農工系教授

施 嘉 昌

Charles C. C. Shih

臺灣大學土木系系主任

顏 清 連

Chin-lien Yen

### ABSTRACT

Good plainning of drainge system in slopeland watershed is very essential for soil and water conservation. This project was begun with a field survey of drainage system of slopeland in Taiwan, and then a more or less standard system was taken for experiments. The cross section of the experimental drainage system is semi-circle concrete channel having a diameter of 0.3 m and a length of 20 m, with a stilling basin installed at the end. The basin has adjustable length L, heights of wall at upstream end p and at downstream h. Channel slopes of 30%, 40% and 50% are adopted. The effects of different L, p, h values on dissipation of energy in the flow have been investigated.

From 290 groups of data for different discharges and sizes of stilling basin, one obtains, by using multiple regression analysis, the following results:

1. The higher the upstream wall of stilling basin, the more effective the energy dissipation; inversely, the higher the downstream wall, the less effective the energy dissipation.
2. The length of stilling basin is not very significant in dissipating energy.

The multiple regression equations are:

$$50\% \text{ slope } E_L/E = 99.757 + 10.560 p/d_e - 10.476 h/d_e$$

$$40\% \text{ slope } E_L/E = 60.99 + 14.34 p/d_e - 12.53 h/d_e$$

$$30\% \text{ slope } E_L/E = 73.44 + 16.44 p/d_e - 14.88 h/d_e$$

### 摘要

坡地集水區如妥善設置排水設施，對水土保持有甚大效果。本計劃自實地調查及瞭解本省各地山坡地簡易排水系統着手，進而試驗較標準之排水系統。試驗部分係利

用內徑 0.3 m，長 20 m 之半圓形混凝土槽，下游端銜接長方形消能池，其長度 (L) 、上游牆高 (p) 及下游牆高 (h)，均可在有限範圍內作適當之調整；並分別在坡度 30 %、40% 及 50% 之坡地上，以各種不同流量進行水理試驗，藉以研究各種不同 L、p 及 h 值之消能池對消能之效果。

從 290 組原始觀測資料應用統計複迴歸分析法分析，所得結論為：(一) 消能池之上游牆高度 (p) 愈高，對消能之效果愈佳，但下游牆高度 (h) 愈高，對消能效果反而有消弱之作用。(二) 消能池長度 (L) 之長短，對消能之效果，在本試驗中無顯著作用。其複迴歸方程式為：

$$50\% \text{ 坡度 } E_L/E = 99.757 + 10.560 p/d_c - 10.476 h/d_c$$

$$40\% \text{ 坡度 } E_L/E = 60.99 + 14.34 p/d_c - 12.53 h/d_c$$

$$30\% \text{ 坡度 } E_L/E = 73.44 + 16.44 p/d_c - 14.88 h/d_c$$

## 一、諸 言

臺灣平地之耕地面積原已感不足，但人口却不斷增加，為擴充耕地面積以增加農產，開發山坡地乃必然之趨勢。近二十餘年來，在農發會與山地農牧局等之專家共同努力下，臺灣各地之坡地開發與利用已有顯著之成就。

惟山坡地之開發利用必須注意水土保持，否則不僅造成坡地沖蝕，毀壞耕地，發生各種嚴重災害，同時下游平原地區之安全亦將感受威脅。故水土保持為開發山坡地之首要工作。

農用坡地之安全排水設施為水土保持重要方法之一；若排水設施之設計妥適，則水土保持之效果必定良好；反之，農用坡地仍難避免遭受沖蝕之危險。因此，為研究妥適之安全排水設計，以供現地應用設計之參考；爰提出本計畫。本計畫自實地調查及瞭解本省各地山坡地簡易排水系統着手，進而實驗較標準之排水系統，因此本文分坡地排水溝試驗及坡地農場排水系統調查二部分，作為研究坡地排水系統之開端。本計畫承農發會補助經費，得以順利完成。

## 二、坡地排水溝水理試驗

### (一) 試驗方法

試驗地點設在高雄縣鳳山熱帶園藝試驗分所。試驗之前在現地以內徑 0.3 m，每節長 2.5 m，共八節接連而成總長 20m 之半圓形混凝土水槽；選擇 50%、40% 及 30% 三種坡度分別建造人工排水渠槽；下游端銜接長方形之消能構造物（參閱圖 1）。試驗時則以不同流量之渠流，分別在三種不同坡

度之渠槽中，流入長方形消能池，其上游牆高、下游牆高及消能池長度均可調整，藉以觀測其水理特性及比較各不同消能池之消能效果。

配合試驗渠槽工程之施工進度及鳳山熱帶園藝試驗分所水源抽水時間，本試驗觀測實驗日期分別在 68 年 2 月及 6 月執行。

#### (1) 觀測項目：

試驗所需觀測或調查項目共有九項，但三種不同坡度之渠槽、不同流量之渠流、消能池不同高度之牆高及不同長度之池長之間，可組成數百組不同之觀測資料，本試驗共觀測 290 組原始資料。試驗所需之九項觀測項目即：

- (1)  $h_w$ ：量水堰水頭 (m)，用以計算流量  $Q$  ( $m^3/sec$ )。
- (2)  $L$ ：消能池長度 (m)。
- (3)  $p$ ：消能池上游牆高 (m)。
- (4)  $h$ ：消能池下游牆高 (m)。
- (5)  $d_1$  及  $d_2$ ：分別為斷面①及斷面②處垂直於渠底之水深 (m)。
- (6)  $S$  或  $\theta$ ：渠道坡降 (有 50%、40%、30% 或  $26.57^\circ$ 、 $21.80^\circ$ 、 $16.70^\circ$  三種)。
- (7)  $B$ ：量水堰寬度 (0.3 m)。
- (8)  $D$ ：半圓形水槽之直徑 (0.3 m)。
- (9)  $n$ ：混凝土水槽之糙率 (0.012)。

上列第(1)至第(4)項為可調整之觀測資料，其中

#### (1) 流量 $Q$

可自  $0.002808 m^3/sec$  變到  $0.01435 m^3/sec$   
(坡度 50% 之水槽)

$0.003966 m^3/sec$  變到  $0.011982 m^3/sec$   
(坡度 40% 之水槽)

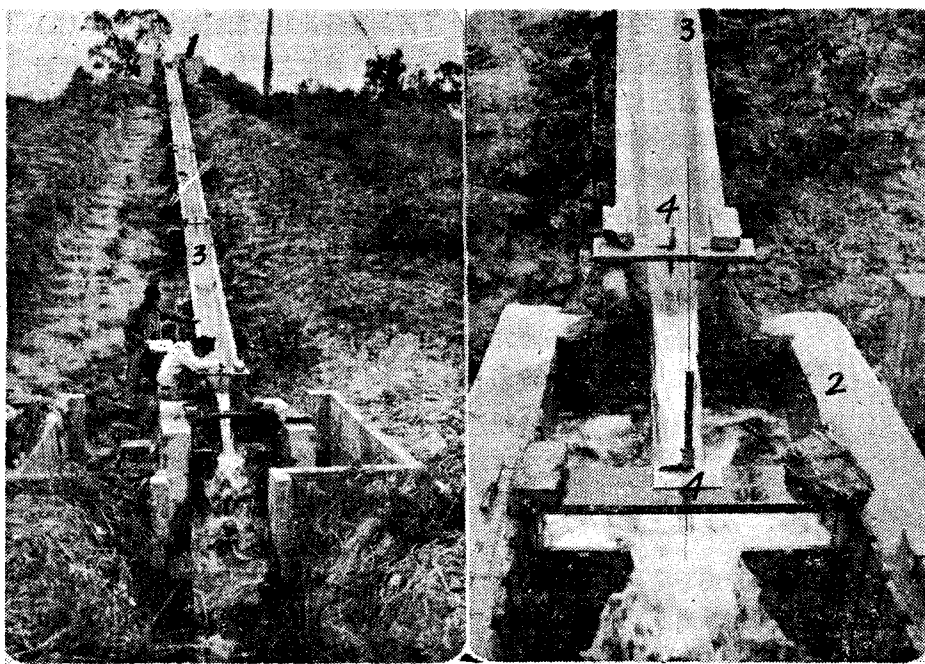


圖 1. 試驗槽之工程設施 (1. 量水堰 2. 消能池 3. 混凝土半圓形渠道 4. 水尺 5. 活動柵板)

$0.005872 \text{ m}^3/\text{sec}$  變到  $0.015512 \text{ m}^3/\text{sec}$   
(坡度30%之水槽)

(2) 消能池長度 L

- 可自 0.72 m 調整到 1.32 m  
(坡度50%之水槽)
- 0.87 m 調整到 1.35 m  
(坡度40%之水槽)
- 0.90 m 調整到 1.50 m  
(坡度30%之水槽)

(3) 上游牆高

- 可自 0.75 m 調整到 0.96 m  
(坡度50%之水槽)

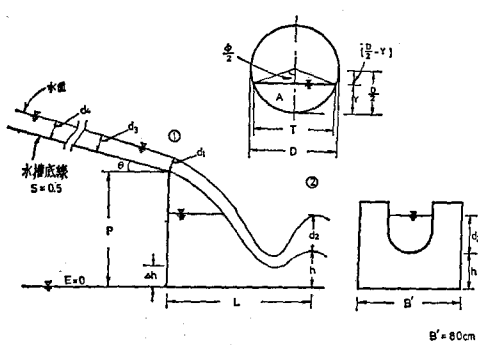


圖 3. 試驗陡槽斷面圖

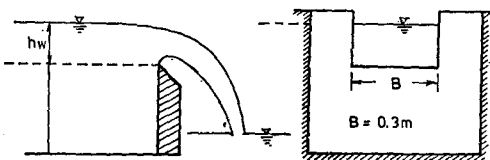


圖 2. 標準矩形收縮量水堰圖

0.715 m 調整到 0.925 m

(坡度40%之水槽)

0.74 m 調整到 0.95 m

(坡度30%之水槽)

(4) 下游牆高 h

可自 0.298 m 調整到 0.711 m

(坡度50%、49%、30%之水槽均同。)

2. 計算項目：

應用電子計算機讀入  $h_w$ 、L、h、p、 $d_1$ 、 $d_2$ 、n、D、B、S 及  $\theta$  (符號見圖2及圖3) 等觀測或已知資料，可計算各值：

(1) 流量 Q ( $\text{m}^3/\text{sec}$ )

標準矩形收縮堰之流量依Francis Formula

$$Q = 1.838 h_w^{3/2} (B - 0.2h_w)$$

(2) 斷面①處之能量  $E_1$  (m)

$$E_1 = d_1 \cos \theta + V_{d_1}^2 / 2g + P$$

式中  $V_1 = Q/A_1$

$$A_1 = \frac{D^2}{4} \left[ \frac{\pi\phi}{360} - 2\sqrt{\frac{d_1}{D} - \left(\frac{d_1}{D}\right)^2 \cdot \left(1 - \frac{2d_1}{D}\right)} \right]$$

$$\phi = 2\cos^{-1}\left(1 - \frac{2d_1}{D}\right)$$

(3) 斷面②處之能量  $E_2$  (m)

$$E_2 = d_2 + V_{2z}^2/2g + h$$

式中  $V_2 = Q/A_2$

$$A_2 = \frac{D^2}{4} \left[ \frac{\pi\phi}{360} - 2\sqrt{\frac{d_2}{D} - \left(\frac{d_2}{D}\right)^2 \cdot \left(1 - \frac{2d_2}{D}\right)} \right]$$

$$\phi = 2\cos^{-1}\left(1 - \frac{2d_2}{D}\right)$$

(4) 能量損耗  $E_L$  (m)

$$E_L = E_1 - E_2$$

(5) 均勻流水深  $y$  (m)

設渠流斷面  $A = \alpha D^2$  潤周  $R = \beta D$

則  $Q = \frac{1}{n} AR^{2/3} S^{1/2} = \frac{1}{n} \alpha \beta^{2/3} D^{8/3} S^{1/2}$

$$\frac{Q \cdot n}{S^{1/2} \cdot D^{8/3}} = \alpha \cdot \beta^{2/3} \quad (a)$$

$$\alpha = \frac{A}{D^2} = \frac{1}{4} \left[ \frac{\pi\phi}{360} - 2\sqrt{\frac{y}{D} - \left(\frac{y}{D}\right)^2 \cdot \left(1 - \frac{2y}{D}\right)} \right] \quad (b)$$

$$\beta = \frac{R}{D} = \frac{1}{4} \left[ 1 - \frac{720}{\pi\phi} \sqrt{\frac{y}{D} - \left(\frac{y}{D}\right)^2 \cdot \left(1 - \frac{2y}{D}\right)} \right] \quad (c)$$

$$\phi = 2\cos^{-1}\left(1 - \frac{2y}{D}\right) \quad (d)$$

如  $Q$ 、 $n$ 、 $S$  及  $D$  均為已知，則由 (a)、(b)、(c)、(d) 四式之關係，可解出之  $y$  值。

(6) 比能量 (Specific energy)  $E$  (m)

$$E = y \cos \theta + V^2/2g$$

式中  $V = Q/A$

$$A = \frac{D^2}{4} \left[ \frac{\pi\phi}{360} - 2\sqrt{\frac{y}{D} - \left(\frac{y}{D}\right)^2 \cdot \left(1 - \frac{2y}{D}\right)} \right]$$

(7) 臨界水深 Critical depth)  $d_c$  (cm)

設渠流斷面  $A = \alpha D^2$  水面寬  $T = rD$

臨界流 (Critical flow) 時

$$\frac{Q^2}{g} = \frac{A^3}{T^2} \cos \theta$$

$$= \frac{\alpha^3 D^6}{r^2 D^2} \cos \theta = \frac{\alpha^3 D^5}{r^2} \cos \theta$$

$$\text{故得 } \frac{Q}{D^{2.5}} = \sqrt{g \cdot \frac{\alpha^3}{r} \cos \theta} \quad (e)$$

$$\alpha = \frac{1}{4} \left[ \frac{\pi\phi}{360} - 2\sqrt{\frac{d_c}{D} - \left(\frac{d_c}{D}\right)^2 \cdot \left(1 - \frac{2d_c}{D}\right)} \right] \quad (f)$$

$$r = \frac{T}{D} = 2\sqrt{\frac{d_c}{D} - \left(\frac{d_c}{D}\right)^2} \quad (g)$$

$$\phi = 2\cos^{-1}\left(1 - 2\frac{d_c}{D}\right) \quad (h)$$

如  $Q$ 、 $D$  及  $\theta$  值均為已知，則由 (e)、(f)、(g)、(h) 四式之關係，可解出  $d_c$  值。

### 3. 計算機輸出之資料

本計算共輸入 290 組資料，其中坡度 50% 者 129 組，坡度 40% 者 92 組，30% 者 69 組，合計 290 組。計算機最後共印出  $Q$  等 20 種計算值，除分析有關之  $E_L/E$ 、 $h/d_c$ 、 $P/d_c$ 、 $L/d_c$ 、 $d_2/y$  五種計算值摘錄於附錄外，其餘省略。

計算機輸出之計算資料：

- |                                    |                    |
|------------------------------------|--------------------|
| (1) $Q$ (c. m. s)                  | (11) $A$ ( $m^2$ ) |
| (2) $A_1$ ( $m^2$ )                | (12) $V$ ( $m/s$ ) |
| (3) $A_2$ ( $m^2$ )                | (13) $E$ (m)       |
| (4) $V_1$ ( $m/s$ )                | (14) $E_L/E$ (%)   |
| (5) $V_2$ ( $m/s$ )                | (15) $Q/D^{2.5}$   |
| (6) $E_1$ (m)                      | (16) $d_c$ (m)     |
| (7) $E_2$ (m)                      | (17) $h/d_c$       |
| (8) $E_L$ (m)                      | (18) $P/d_c$       |
| (9) $Q \cdot n/(S^{1/2})(D^{8/3})$ | (19) $L/d_c$       |
| (10) $y$ (m)                       | (20) $d_2/y$       |

### 四、試驗結果分析

本試驗取其計算後之  $E_L/E$ 、 $P/d_c$ 、 $L/d_c$ 、 $h/d_c$  及  $d_2/y$  等無維度數值，以複迴歸分析法<sup>(8)</sup> 分析，計算結果整理如表(1)、(2)、(3)及表(4)。

表(1) 坡度 50%之資料迴歸分析表

	複迴歸係數					複相關數	計算之 F 值	計算之t值				複迴歸方程式
	a <sub>0</sub>	a <sub>1</sub>	a <sub>2</sub>	a <sub>3</sub>	a <sub>4</sub>			P/d <sub>c</sub>	h/d <sub>c</sub>	L/d <sub>c</sub>	d <sub>2</sub> /y	
1	99.75	10.56	-10.48			0.885	228.19	21.33	-16.33			
2	98.85	10.17	-10.39	0.361		0.886	152.67	16.46	-16.08	(1.07)*		
3	80.28	9.84	-10.00	0.709	3.667	0.887	114.89	14.26	-13.49	(1.50)*	(1.06)*	
4	-68.43	157.56	-88.43			0.869	194.14	19.64	-14.97			
5	-71.04	151.79	-87.36	5.69		0.870	129.63	15.08	-14.52	(0.95)*		
6	-90.70	148.64	-85.02	9.55	9.17	0.871	97.12	13.77	-12.73	(1.25)*	(0.811)*	
7	4.721	0.061	-0.062			0.876	208.37	20.36	-15.84			
8	4.714	0.058	-0.061	0.003		0.878	140.39	15.56	-15.59	(1.34)*		
9	4.624	0.057	-0.059	0.004	0.018	0.879	105.23	13.53	-13.15	(1.55)*	(0.84)*	
10	3.743	0.926	-0.531			0.870	195.98	19.69	-15.32			
11	3.723	0.881	-0.522	0.044		0.872	131.82	14.98	-14.85	(1.27)*		
12	3.631	0.867	-0.511	0.062	0.043	0.872	48.51	13.71	-13.08	(1.39)*	(0.65)*	

註 (1)計算資料共 129 組 (即 n=129) ,

$$F\left(\frac{2}{126}, \frac{0.05}{0.01}\right) = \frac{3.07}{4.78}$$

$$t_{125} = \frac{1.979}{2.616}$$

(2)( )\*內數字表示小於理論值。

表(2) 坡度 40%之資料迴歸分析表

	複迴歸係數					複相關係數 F	計算之 F	計算之 t 值				複迴歸方程式
	a <sub>0</sub>	a <sub>1</sub>	a <sub>2</sub>	a <sub>3</sub>	a <sub>4</sub>			P/d <sub>c</sub>	h/d <sub>c</sub>	L/d <sub>c</sub>	d <sub>2</sub> /y	
1	60.99	14.34	-12.53			0.988	1897.8	51.9	-51.0			E <sub>L</sub> /E = a <sub>0</sub> + a <sub>1</sub> (P/d <sub>c</sub> )
2	62.13	14.42	-12.52	-0.13		0.989	1258.8	48.2	-50.7	(-0.73)*		+ a <sub>2</sub> (h/d <sub>c</sub> ) + a <sub>3</sub> (L/d <sub>c</sub> )
3	67.40	14.49	-12.57	-0.24	-1.17	0.989	936.5	43.5	-47.7	(-0.88)*	(-0.53)*	+ a <sub>4</sub> (d <sub>2</sub> /y)
4	-100.8	140.16	-53.8			0.958	497.2	21.2	-25.8			E <sub>L</sub> /E = a <sub>0</sub> + a <sub>1</sub> ℓ <sub>n</sub> (P/d <sub>c</sub> )
5	-143.0	141.6	-52.7		29.6	0.963	373.7	22.6	-26.3		3.37	+ a <sub>2</sub> ℓ <sub>n</sub> (h/d <sub>c</sub> )
6	-280.8	123.7	-51.8	42.5	79.2	0.975	411.6	20.7	-30.8	6.26	7.33	+ a <sub>3</sub> ℓ <sub>n</sub> (L/d <sub>c</sub> ) + a <sub>4</sub> ℓ <sub>n</sub> (d <sub>2</sub> /y)
7	4.45	0.082	-0.068			0.968	658.6	31.4	-29.1			ℓ <sub>n</sub> (E <sub>L</sub> /E) = a <sub>0</sub> + a <sub>1</sub> (P/d <sub>c</sub> )
8	4.36	0.082	-0.067		0.023	0.969	449.9	31.7	-27.9		(1.73)*	+ a <sub>2</sub> (h/d <sub>c</sub> ) + a <sub>3</sub> (L/d <sub>c</sub> )
9	4.19	0.078	-0.065	0.005	0.058	0.971	355.1	25.8	-27.3	(2.29)*	2.89	+ a <sub>4</sub> (d <sub>2</sub> /y)
10	3.44	0.825	-0.280			0.921	249.8	16.1	-17.3			ℓ <sub>n</sub> (E <sub>L</sub> /E) = a <sub>0</sub> + a <sub>1</sub> ℓ <sub>n</sub> (P/d <sub>c</sub> )
11	3.10	0.837	-0.271		0.238	0.931	192.1	17.1	-17.6		3.53	+ a <sub>2</sub> ℓ <sub>n</sub> (h/d <sub>c</sub> ) + a <sub>3</sub> ℓ <sub>n</sub> (L/d <sub>c</sub> )
12	2.01	0.696	-0.264	0.336	0.631	0.954	222.3	15.3	-20.6	6.505	7.68	+ a <sub>4</sub> ℓ <sub>n</sub> (d <sub>2</sub> /y)

註：(1) 計算資料共92組 (n=92)

$$F_{(89, 0.01)}^{(2, 0.05)} = 4.85$$

$$t_{\text{se}} = \frac{1.987}{2.632}$$

(2) ( )\* 內數字表示小於理論值。

表(3) 坡度 30%之資料迴歸分析表

	複迴歸係數					複相關數 R	計算之 F 值	計算之 t 值				複迴歸方程式
	a <sub>0</sub>	a <sub>1</sub>	a <sub>2</sub>	a <sub>3</sub>	a <sub>4</sub>			P/d <sub>c</sub>	h/d <sub>c</sub>	L/d <sub>c</sub>	d <sub>2</sub> /y	
1.	73.44	16.44	-14.88			0.899	138.42	16.45	-13.61			E <sub>L</sub> /E = a <sub>0</sub> + a <sub>1</sub> (P/d <sub>c</sub> )
2.	101.14	1.719	-16.53		-7.30	0.914	110.69	18.01	-14.66		-3.82	+ a <sub>2</sub> (hd <sub>c</sub> ) + a <sub>3</sub> (L/d <sub>c</sub> )
3.	113.00	18.43	-17.68	-0.66	-9.21	0.918	85.18	14.69	-13.04	(-1.10)*	-3.70	+ a <sub>4</sub> (d <sub>2</sub> /y)
4.	-101.50	185.61	-99.73			0.893	129.63	15.85	-13.08			E <sub>L</sub> /E = a <sub>0</sub> + a <sub>1</sub> ℓ <sub>n</sub> (P/d <sub>c</sub> )
5.	-69.95	191.10	-108.76		-22.90	0.904	97.31	16.82	-13.60		-2.73	+ a <sub>2</sub> ℓ <sub>n</sub> (h/d <sub>c</sub> )
6.	-33.94	210.62	-120.71	-16.24	-34.96	0.910	76.89	13.95	-12.05	(-2.92)*	-3.37	+ a <sub>3</sub> ℓ <sub>n</sub> (L/d <sub>c</sub> ) + a <sub>4</sub> ℓ <sub>n</sub> (d <sub>2</sub> /y)
7.	4.53	0.10	-0.09			0.926	199.69	19.81	-16.12			ℓ <sub>n</sub> (E <sub>L</sub> /E) = a <sub>0</sub> + a <sub>1</sub> (P/d <sub>c</sub> )
8.	4.66	0.10	-0.10		-0.04	0.937	155.98	21.38	-16.95		-3.25	+ a <sub>2</sub> (h/d <sub>c</sub> ) + a <sub>3</sub> (L/d <sub>c</sub> )
9.	4.74	0.11	-0.10	-0.004	-0.05	0.941	122.67	17.69	-15.33	(-1.91)*	-3.83	+ a <sub>4</sub> (d <sub>2</sub> /y)
10.	3.46	1.12	-0.59			0.922	187.33	19.11	-15.52			ℓ <sub>n</sub> (E <sub>L</sub> /E) = a <sub>0</sub> + a <sub>1</sub> λ <sub>n</sub> (P/d <sub>c</sub> )
11.	3.61	1.15	-0.64		-0.11	0.929	136.90	19.98	-15.71		-2.50	+ a <sub>2</sub> ℓ <sub>n</sub> (h/d <sub>c</sub> ) + a <sub>3</sub> ℓ <sub>n</sub> (L/p <sub>c</sub> )
12.	3.81	1.26	-0.70	-0.09	-0.18	0.934	109.68	16.61	-13.98	(-2.16)*	-3.35	+ a <sub>4</sub> ℓ <sub>n</sub> (d <sub>2</sub> /y)

註:(1) 計算資料共61組 (n=61)

$$F\left(\frac{2}{58}, \frac{0.05}{0.01}\right) = 3.15$$

$$F\left(\frac{2}{58}, \frac{0.01}{0.01}\right) = 4.98$$

$$t_{57} = \frac{2.00}{2.67}$$

(2) ( )\* 內之數字表示小於理論值。

表(4) 坡度40%及30%之資料綜合分析表

	複迴歸係數					複相關係數 R	計算之 F 值	計算之 t 值				複迴歸方程式
	a <sub>0</sub>	a <sub>1</sub>	a <sub>2</sub>	a <sub>3</sub>	a <sub>4</sub>			P/d <sub>c</sub>	h/d <sub>c</sub>	L/d <sub>c</sub>	d <sub>z</sub> /y	
1	86.73	12.95	-12.49			0.915	404.55	25.10	-20.48			E <sub>L</sub> /E = a <sub>0</sub> + a <sub>1</sub> (P/d <sub>c</sub> )
2	103.67	13.05	-12.86		-4.55	0.918	278.49	25.52	-23.96	(-2.27)*		+ a <sub>2</sub> (h/d <sub>c</sub> ) + a <sub>3</sub> (L/d <sub>c</sub> )
3	98.95	12.88	-12.78	0.21	-3.82	0.918	208.12	22.20	-23.10	(0.61)*	(-1.63)*	+ a <sub>4</sub> (d <sub>z</sub> /y)
4	-33.92	118.40	-55.45			0.873	253.08	16.51	-18.83			E <sub>L</sub> /E = a <sub>0</sub> + a <sub>1</sub> ℓ <sub>n</sub> (P/d <sub>c</sub> )
5	-60.74	110.79	-55.32	16.06		0.879	177.29	14.55	-19.13	(2.60)*		+ a <sub>2</sub> ℓ <sub>n</sub> (h/d <sub>c</sub> )
6	-102.18	107.66	-53.80	23.88	19.90	0.882	136.45	13.96	-18.15	3.30	(1.99)*	+ a <sub>3</sub> ℓ <sub>n</sub> (L/d <sub>c</sub> ) + a <sub>4</sub> ℓ <sub>n</sub> (d <sub>z</sub> /y)
7	4.62	0.074	-0.068			0.888	295.95	21.82	-20.17			ℓ <sub>n</sub> (E <sub>L</sub> /E) = a <sub>0</sub> + a <sub>1</sub> ℓ <sub>n</sub> (P/d <sub>c</sub> )
8	4.58	0.071	-0.068	0.004		0.891	201.95	19.60	-20.20	(1.93)*		+ a <sub>2</sub> (h/d <sub>c</sub> ) + a <sub>3</sub> (L/d <sub>c</sub> )
9	4.58	0.071	-0.068	0.004	0.0001	0.891	150.50	18.59	-18.71	(1.65)*	(0.007)*	+ a <sub>4</sub> (d <sub>z</sub> /y)
10	3.89	0.68	-0.29			0.830	174.48	14.38	-15.05			ℓ <sub>n</sub> (E <sub>L</sub> /E) = a <sub>0</sub> + a <sub>1</sub> ℓ <sub>n</sub> (P/d <sub>c</sub> )
11	3.72	0.63	-0.29	0.105		0.837	122.77	12.55	-15.28	(2.59)*		+ a <sub>2</sub> ℓ <sub>n</sub> (h/d <sub>c</sub> ) + a <sub>3</sub> ℓ <sub>n</sub> (L/d <sub>c</sub> )
12	3.32	0.60	-0.28	0.180	0.192	0.847	98.78	11.98	-14.36	3.83	2.95	+ a <sub>4</sub> ℓ <sub>n</sub> (d <sub>z</sub> /y)

註：(1) 計算資料共161組 (n=161)

$$F\left(\frac{2}{158}, \frac{0.05}{0.01}\right) = 4.75$$

$$t_{157} = \frac{1.976}{2.609}$$

(2) ( )\* 內之數字表示小於理論值。

### 三討論與結論

1.由表(1)至表(4)知，就複相關而言， $h/d_0$ ， $P/d_0$ ， $L/d_0$  及  $d_0/y$  各值對  $E_L/E$  值之綜合影響，以  $t$  值分別測驗結果，顯示  $P/d_0$  與  $h/d_0$  計算之  $t$  值遠大於理論  $t$  值，而  $L/d_0$  計算之  $t$  值遠小於理論  $t$  值。換言之， $P/d_0$  與  $h/d_0$  對  $E_L/E$  分別有極顯著之正負相關，而  $L/d_0$  對  $E_L/E$  之關係則顯示不相關。亦即  $P$  增高，能量消耗愈大，消能效果愈佳；但  $h$  增高則能量消耗愈小，消能效果減弱。 $L$  之增減對能量之消耗並無顯著之差異。

2.依渠道水力學原理，渠流在靜水池中發生水躍 (Hydraulic-jump) 現象時，必消耗甚多能

量，欲使產生正常之水躍現象，以消耗大量之能量，則應將靜水池下游牆高  $h$ ，適當地降低 [圖4 (a)]，方可促成正常水躍之形成。若下游牆  $h$ 增高，則靜水池之水面亦將相對提升 [圖4 (b)]，此時即不易促成正常之水躍現象以消去大量之能量。故本試驗以統計方法分析結果，指出下游牆  $h$  愈高，靜水池消能效果愈差之結論，從以上發生水躍現象之原理，得以驗證。

3.目前各地之坡地農場到處均已採用混凝土預鑄排水溝及預鑄消能（跌水）池。跌水池係由前、後、左、右及底板共五片鋼筋混凝土板所組成。跌水池之進出口有一高低不同之梯形缺口如圖6 (a) 及 (b) 所示。現場農民有將缺口較高之混凝土板放

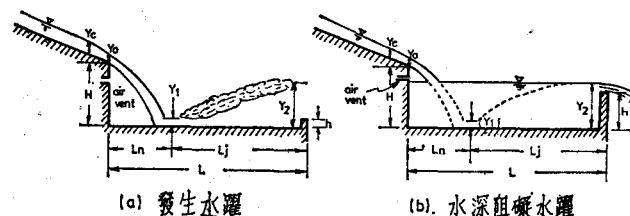


圖 4. 消能池與水躍現象

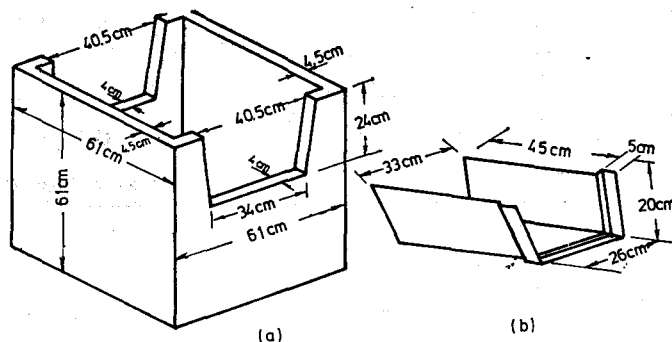


圖 5. 預鑄跌水及排水渠道

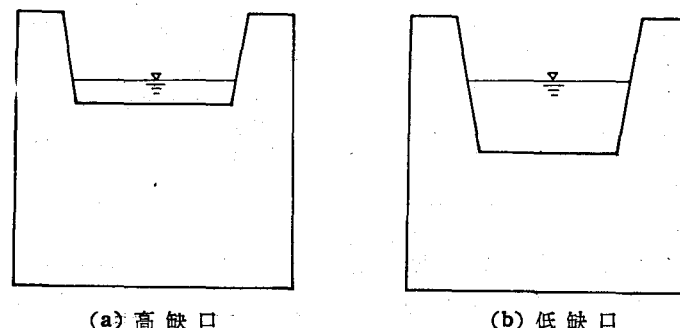


圖 6. 預鑄跌水池進出口斷面

在下游作為出口，而將缺口較低之板放在上游作為進口；亦有將高低缺口之前後位置與上述情形相互調換者，乃至於前後均採用同一高低之缺口者；究竟孰是孰非，成為一時相互爭論未決之問題。此項爭論，可由本試驗所得之結論，而獲得解釋。亦即欲達消能之目的，將高缺口板放置於上游作為進口，而將低缺口之板放置於下游作為出口，方可獲得較佳之消能效果。

4. 關於靜水池長度 ( $L$ ) 之決定，依各文獻<sup>(3), (8), (4), (7), (8), (10), (11), (12), (14), (17)</sup> 提出之各種公式，決定靜水池長度之水力因素，歸納言之，除各不同之經驗係數外，包括渠流流量、比能量 (Specific energy)、靜水池落差 (上游牆高  $P$ )、福祿指

數  $F$ 、水躍前後水深以及臨界水深等等。惟本試驗由 290 組觀測資料統計分析結果，指出靜水池之長短 (自 0.72 m 至 1.50 m) 對消能之效果，並無顯著之差異。

5. 綜上所論，本試驗結果可以下列兩迴歸方程式表示：

$$(1) E_L/E = 99.757 + 10.5598 P/d_L - 10.4762 h/d_L$$

複相關係數  $R = 0.885$

$$(2) E_L/E = 86.7306 + 12.9506 P/d - 12.4931 h/d$$

複相關係數  $R = 0.915$

以上兩式第(1)式適用於坡度 50% 之渠道，第(2)

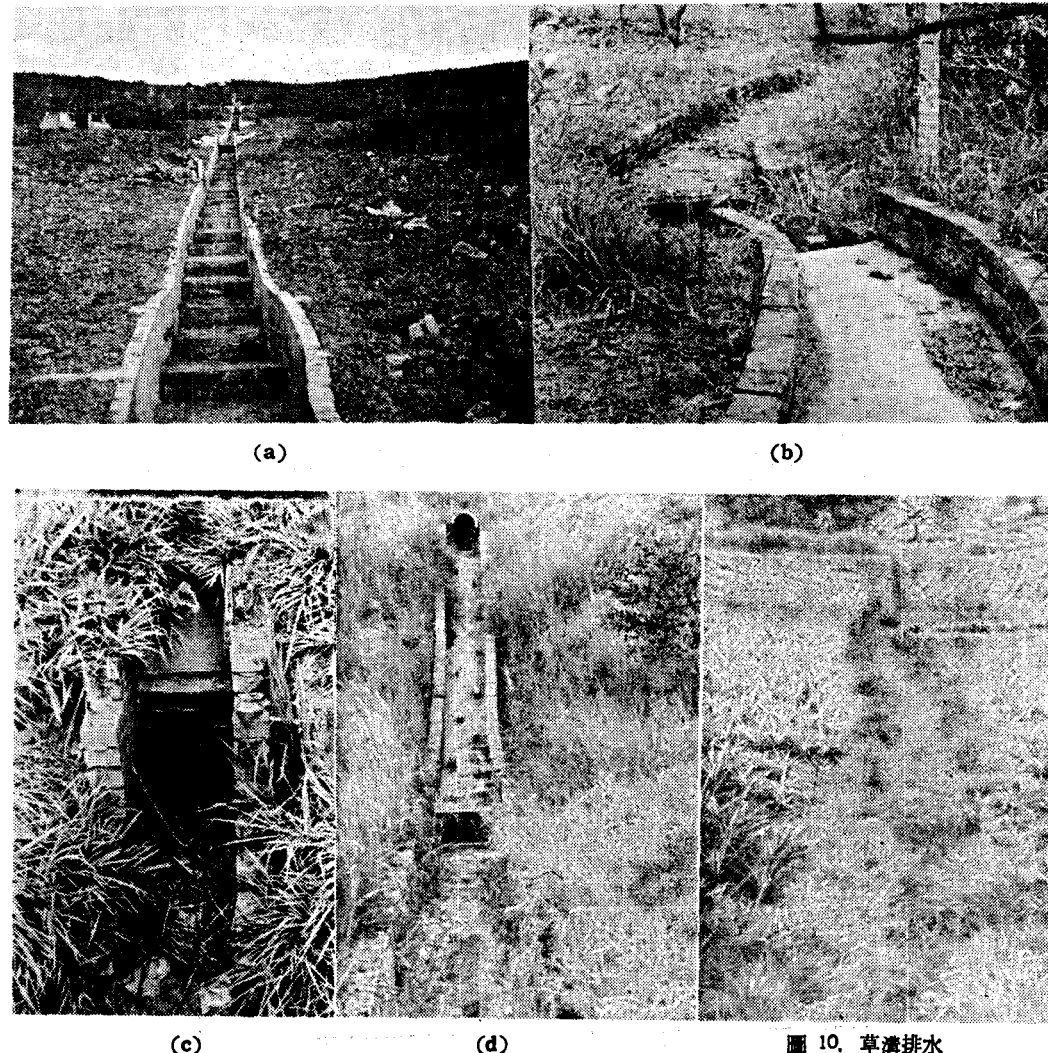


圖 10. 草溝排水

圖 7. 臺東苗栗臺南等地設置有消能池之磚砌溝

式適用於坡度 30~40% 之渠道。

### 三、坡地農場排水渠道設施考察

坡地農場排水溝調查，亦為本計畫應執行之工作項目。本計畫承蒙山地農牧局之協助，安排調查時間及地點，自臺北出發，前往臺灣西部及東部各地區，調查坡地農場小型安全排水之設置現況，其代表性之相片選列如下：

#### (一) 坡地農場安全排水系統設置現況

目前安全排水溝之種類，依其建造之材料，可分為(1)磚砌溝，(2)漿砌卵石溝，(3)乾砌卵石溝，(4)草溝，(5)混凝土預鑄溝等五類。

筆者曾調查二十餘處坡地農場，其間共拍攝數百張排水設施相片，但為節省篇幅，僅擇數張代表者簡要說明如下：

1. 磚砌溝：磚砌溝之主要材料為磚塊，因磚塊之生產、來源及施工等均甚方便，故各地採用者甚多，除若干卵石產量特盛之地區外，臺灣各地採用磚砌排水溝者到處可見。圖 7 之 (a), (b), (c) 及 (d) 四圖均含有跌水(消能池)之磚砌排水溝，其消能池之效果有待探討。本相片分別攝自臺東、苗栗及臺南等坡地農場。

2. 漆砌塊石溝：卵石材料之取得遠較磚塊經濟之地區，多採用卵石排水溝。若土壤鬆軟、基脚不穩定或沖蝕力較大之地，則採用混凝土漆砌加固，為漆砌卵石排水溝 [圖 8 之 (a), (b), (c)]。採用此種排水溝者，全省亦到處可見。

3. 乾砌塊石溝：若干地區，如彰化八卦山，高雄嶺口等地之坡地農場，因石材產量極盛，可免費就地取材，築成所謂乾砌卵石溝，乃是一種妥適又經濟之坡地安全排水 [圖 9 之 (a), (b), (c), (d)]。

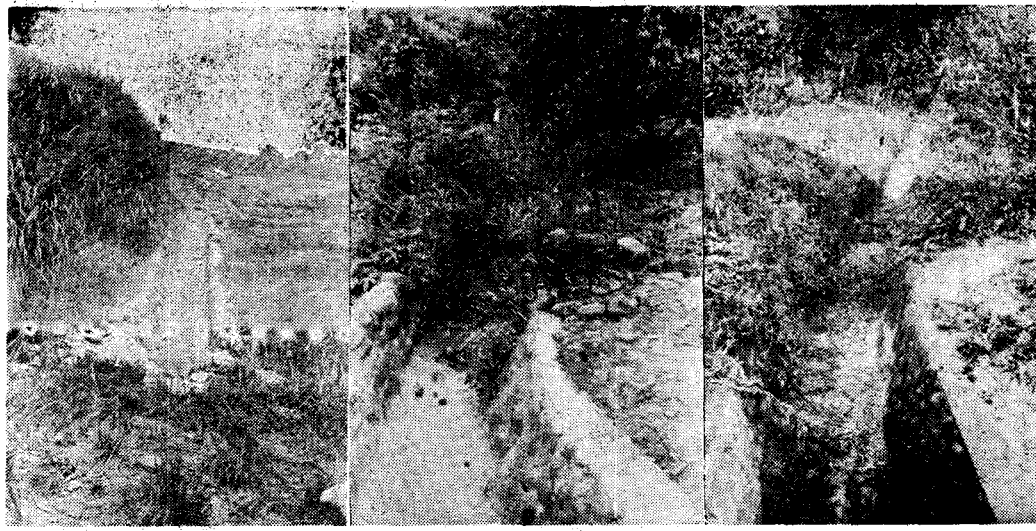


圖 8. 漆砌塊石溝

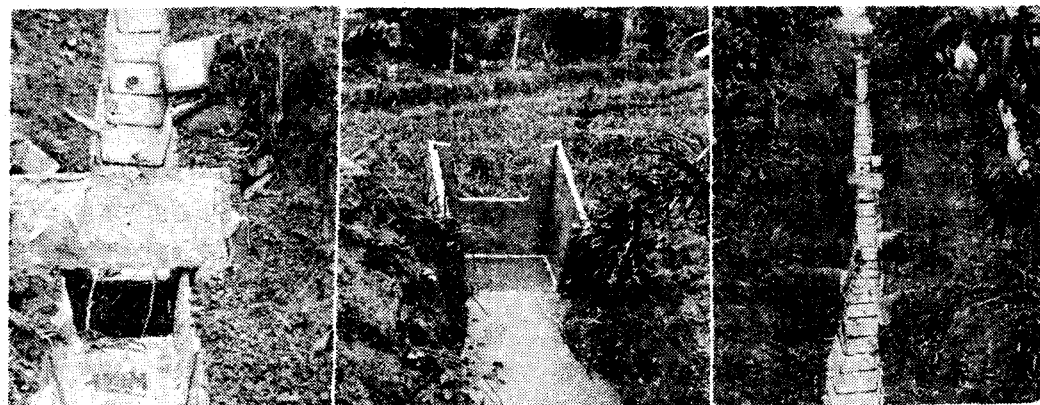


圖 9. 乾砌塊石溝

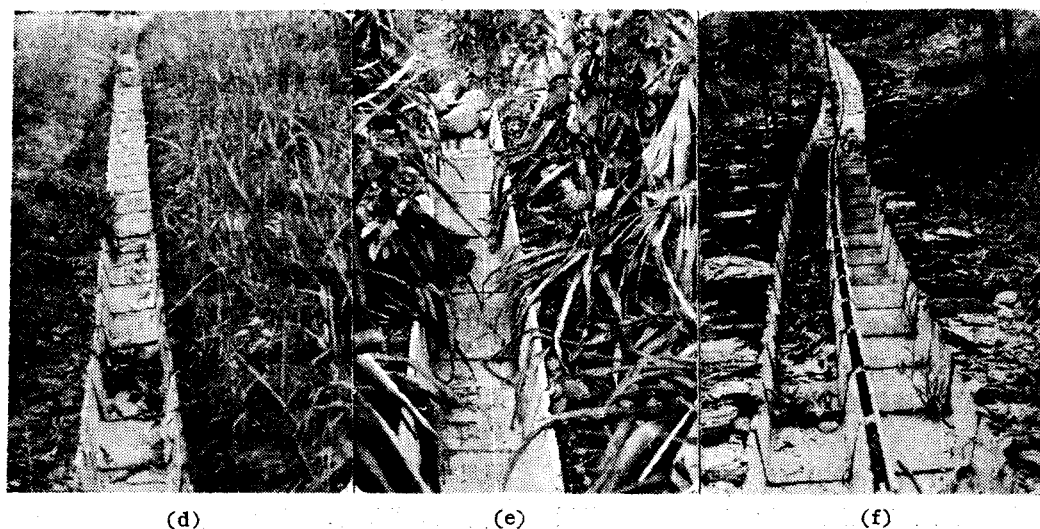


(c) (d)

圖 9. 彰化八卦山、高雄嶺口等地乾砌塊石溝



(a) (b) (c)



(d) (e) (f)

圖 11. 預鑄混凝土槽

4. 草溝：採用植草方法，取代人工之建材，以保護渠道被沖蝕之排水溝，稱為草溝〔如P.52之圖10〕。草溝既可美化景觀，且不破壞生態平衡，從長期之生存着想，是一種頗值得研究與推廣之方法。

5. 預鑄混凝土溝：為預鑄之鋼筋混凝土板所組成，大都為梯形，近年來已大量推廣應用於全省各地之坡地農場，目前亦為應用數量最多之一種坡地排水溝。見圖 11 之(a), (b), (c), (d), (e), 及(f) 各圖。

## 二討論與建議

1. 近年來在農發會暨農牧局等機構之努力下，臺灣坡地之開發利用，已有相當成就，惟現有之坡地安全排水系統設施，似僅依據當地工作單位之經費預算大小，簡易設計下建造而成，缺乏一定之設計準則。為使今後現場工作人員設計時有所遵循，故有待於加速研究，早日制定現場作業之設計規範。

2. 預鑄溝之推廣與應用已取代過去已採用之磚砌溝及漿砌卵石溝之地位，今後有更廣泛被推廣應用之勢。因預鑄溝之優點甚多，例如，無水源之處亦可施工，不需要水泥及砂石等材料，不需要經驗與熟練之技術工，如遭受任何破壞，農民亦能自行修復等。惟預鑄溝之設施，目前無一定之準則，此可從圖 11 之(a), (b), (c), (d), (e) 及(f) 各圖中討論之：

(1) 推廣應用中之預鑄溝及預鑄消能設備，目前僅有一種尺寸（長 45 cm，高 20，上寬 33，下寬 26 及  $61 \times 61 \times 61$ ），見圖 5 之(a), (b)。據說全臺灣目前亦獨有南投縣一家工廠承製此種產品。惟設計任何一種渠道均不能忽視應考慮之影響因子，包括流量，坡度，田區面積，當地氣象水文資料，工程材料種類，經營管理方式以及投資計畫等等。此種影響因子，在坡地農場皆屬變動因子。目前推廣中之預鑄溝僅一種固定規格，似不能滿足上述多種變動因子之需要，正如一頂固定尺寸之帽子，人人未必都能戴。因此建議除在斷面尺寸上能推出其他規格外，其他如長度、厚薄、形狀、材料種類及品質等亦應繼續研究，期能推出更經濟更實用之製品。

(2) 從圖 11 之(d) 及(f) 兩圖知，預鑄溝之長度雖已延長至某一相當程度，但其間竟未見設置任何消能設施，用以調整流速俾保護下游段渠身之安全，此種預鑄溝之設施是否妥適，實有商榷餘

地。但究竟何種坡度，至少應在多少距離設置一個消能池？又在何種坡度，多大面積應設置一條預鑄溝？圖(f) 中為何設置兩條預鑄溝？諸如此類疑問，不僅農民，即使現場設計者，相信也無法回答，因此制定預鑄溝之設計與規範實為刻不容緩之舉。

(3) 預鑄溝施工後常見溝與地面土壤之間留有甚大間隙，溝頂也常高出兩側地面之高度（見圖 11 (a)~(f) 圖），致使下雨後農場之橫向（與溝向垂直）水流，無法流入預鑄溝內，因而流入溝底外面低窪之處，再沿溝之方向，流至下游，積年累月，該處土壤非但被沖蝕與淘深，且直接危及排水溝本身之安全。故施工時應注意填補空隙，且務須令溝頂不要露出兩側土面，以免阻礙橫向水流進入預鑄溝內。

(4) 消能池在預鑄溝內係擔任消能及保護下游段渠道安全之任務，但在現場常見消能池不是被忽略〔圖 11 之(c), (d), (f)〕即放置不當〔圖 11 之(a), (b)〕。本計畫之另一主要研究項目即是進行消能池之改善試驗研究。初步觀測分析結果已詳述於前。圖 11 之(a) 與(b) 均顯示，農民對消能池之施工尚未十分認識。(b) 圖之設置，顯然過高，應放低消能箱出口之高度，抬高上游進口之缺口位置，使產生水躍現象以達消能之目的。

(5) 從圖 11 中知，施工良好之預鑄溝，溝內底面必成一光滑之斜面，人必無法在溝內行走，若能在每節相接合之處，或適當位置加設橫向凸緣或消力檻，既可承擔跌水消能之一部份功能，且可成兼路用之排水溝，此種一舉兩得之設施，實有加以考慮之必要。

綜上所述，預鑄溝已被公認為推廣應用於坡地安全排水最佳方法，但預鑄溝之設計與施工，迄仍無規範可供參考與遵循，故制定規範為不可容緩之工作。預鑄溝目前僅有一種斷面與一種固定之尺寸，實不能滿足含有甚多變化因子之臺灣坡地農場全面性排水之應用，且僅有獨家產製，交通運輸應用均感不便，推廣上實不無阻碍，故應推出他種斷面與尺寸，使設計者能應用數學規劃之最佳利潤與經濟原則，慎加選擇採用，此外應在各地加設製造廠商或分廠，使各地均能節省運輸費用，在廠商競爭之下，提高製品之品質。

#### 四、誌謝

此次參觀調查，承蒙農發會李技正三畏，農牧局郭技正長庚安排日程、地點、協助聯絡等。又蒙農牧局各地工作處暨各縣政府水土保持課同仁熱心協助與引導，使本工作得能順利進行，筆者衷心銘感，除藉此向以上兩位技正誌謝外，特再向各地工作處暨縣府水土保持課熱心引導之各位先生致最深摯之謝意。

本研究之完成，承農發會補助經費，試驗進行中蒙農發會廖博士綿濬之指導，現場試驗承張賢明先生協助，又電子計算機程式及計算由臺大生物統計研究室謝英雄先生協力，謹此一併致謝。

#### 參考文獻

1. 鄧先仁「能量線與水面曲線之關係」臺灣水利季刊叢書之14 (46年11月10日出版)
2. 薛履坦「靜水池及消能器之設計標準」臺灣水利季刊叢書之10 (46年7月1日出版)
3. 農發會、山地農牧局「水土保持手冊」 XXIV—1 ~9, (67年4月出版)
4. 洪有才「灌溉排水系統構造物之設計」農工學報叢刊第2號 (60年3月15日)
5. 中國工程師學會「流體力學」中國工程師手冊土木類第6篇
6. 何智武等「臺灣蝕溝控制及排水方法之調查研究」水土保持學報8卷1期 (66年7月1日)
7. 柴田道生「農田水路構造物の實用設計と解説」 p. 173落差工 (昭和39年)
8. 臺灣省水利局「灌溉排水工程設計訓練教材」 (1976)
9. 葉樹藩「試驗設計學（第一部份）」生物統計學第8, 9章臺大農學院生物統計學研究室
10. Schwab. Frevert. Edminster. Barnes "Soil and Water Conservation Engineering" 2nd Ed. (1966)
11. Elevatorski "Hydraulic Energy Dissipators" (1959)
12. U. S. Department of the Bureau of Reclamation "Bucket Energy Dissipators" (1958)
13. U. S. Department of the Bureau of Reclamation "Desgn of Small Canal Structures" (1974)
14. Ven Te Chow "Open-Chennel Hydraulics" (1969)
15. Henderson "Open Channel Flow" (1966)
16. Kuo "Computer Applications of Numerical Methods" (1971)
17. Simon "Practical Hydraulics" John Wiley & Sons. (1976)
18. Moore "Energy Loss at the Base of a Free Overfall" Transactions, ASCE, Vol. 108, pp. 1343-1392, (1948)

專營砂石採取

永安建材股份有限公司

負責人：王全居

地址：高雄縣大寮鄉義和村鳳屏二路 391 巷 21 號

電話：(0 7) 6512203

試驗觀測及計算資料 S=30% (101≈169)

	Q	L	h	P	d <sub>1</sub>	d <sub>2</sub>	E <sub>L</sub>	E <sub>L</sub> /E	h/d <sub>e</sub>	P/d <sub>e</sub>	L/d <sub>e</sub>	d <sub>2</sub> /y
101	0.0065	1.5000	0.2980	0.7400	0.0181	0.0615	1,0832	274,092	4.9516	12,2959	24,9241	2.7417
102	0.0081	1.5000	0.2980	0.7400	0.0251	0.0805	0.7914	174,9190	4.4152	10,9639	22,2241	3.2280
103	0.0112	1.5000	0.2980	0.7400	0.0285	0.0970	0.9096	165,7993	3.7375	9,2810	18,8127	3.3330
104	0.0080	1.5000	0.3990	0.7400	0.0244	0.0704	0.7105	160,2471	5.9475	11,0305	22,3591	2.8387
105	0.0104	1.5000	0.3990	0.7400	0.0279	0.0832	0.7703	146,7704	5,2005	9,6451	19,5501	2.9729
106	0.0129	1.5000	0.3990	0.7400	0.0304	0.1189	0.8433	141,4544	4.6594	8,6416	17,5167	3.3252
107	0.0076	1.5000	0.5010	0.7400	0.0235	0.0617	0.6168	142,1137	7.6937	11,3740	23,0351	2.5582
108	0.0101	1.5000	0.5010	0.7400	0.0261	0.0772	0.7410	143,8740	6,6380	9,8046	19,8742	2.7914
109	0.0127	1.5000	0.5010	0.7400	0.0301	0.0907	0.7534	127,6511	5,9021	8,7177	17,6710	2.9416
110	0.0079	1.2000	0.5010	0.7400	0.0241	0.0711	0.6191	139,2923	7,5321	11,1253	18,0411	2.8896
111	0.0103	1.2000	0.5010	0.7400	0.0270	0.0872	0.7090	135,7253	6,5566	9,6844	15,7044	3.1171
112	0.0127	1.2000	0.5010	0.7400	0.0297	0.1033	0.7701	130,6375	5,9073	8,7254	14,1492	3.3530
113	0.0080	1.2000	0.3990	0.7400	0.0237	0.0825	0.7474	167,1900	5,9693	11,0709	17,9528	3.3378
114	0.0101	1.2000	0.3990	0.7400	0.0262	0.0951	0.8343	161,6070	5,2756	9,7843	15,8665	3.4321
115	0.0123	1.2000	0.3990	0.7400	0.0289	0.1075	0.8832	152,5214	4,7765	8,8587	14,3654	3.5383
116	0.0060	1.2000	0.2980	0.7400	0.0209	0.0723	0.7676	204,1755	5,1721	12,8434	20,8272	3.3567
117	0.0084	1.2000	0.2980	0.7400	0.0242	0.0903	0.8610	186,9426	4,3472	10,7950	17,5054	3.5696
118	0.0059	0.9000	0.5010	0.7400	0.0196	0.0634	0.6356	170,5255	8,7610	12,9404	15,7382	2.9641
119	0.0082	0.9000	0.5010	0.7400	0.0235	0.0792	0.6917	151,6534	7,3696	10,8852	13,2387	3,1549
120	0.0108	0.9000	0.5010	0.7400	0.0272	0.0946	0.7461	138,7517	6,4007	9,4542	11,4983	3,3069
121	0.0066	0.9000	0.3990	0.7400	0.0222	0.1100	0.6466	161,9850	6,5744	12,1931	14,8294	4.8656
122	0.0092	0.9000	0.3990	0.7400	0.0254	0.1240	0.7513	154,6285	5,5598	10,3114	12,5409	4.6984
123	0.0120	0.9000	0.3990	0.7400	0.0292	0.1362	0.8331	142,5370	4,8378	8,9723	10,9122	4,5361

	Q	L	h	P	d <sub>1</sub>	d <sub>2</sub>	E <sub>L</sub>	E <sub>L/E</sub>	h/d <sub>e</sub>	P/d <sub>e</sub>	L/d <sub>e</sub>	d <sub>2</sub> y
124	0,0063	1,5000	0,6060	0,8450	0,0214	0,0492	0,5811	149,4251	10,2137	14,2418	25,2813	2,2226
125	0,0091	1,5000	0,6060	0,8450	0,0264	0,0690	0,7225	149,4773	8,4819	11,8271	20,9949	2,6253
126	0,0114	1,5000	0,6060	0,8450	0,0281	0,0795	0,7375	136,0253	7,5352	10,5071	18,6516	2,7100
127	0,0140	1,5000	0,6060	0,8450	0,0307	0,0937	0,8388	133,9669	6,7835	9,4588	16,7907	2,8988
128	0,0060	1,5000	0,5040	0,8450	0,0204	0,0540	0,7065	186,9621	8,7083	14,6003	25,9177	2,4966
129	0,0088	1,5000	0,5040	0,8450	0,0246	0,0792	0,7957	167,2146	7,1504	11,9883	21,2809	3,0513
130	0,0112	1,5000	0,5040	0,8450	0,0277	0,0918	0,8565	156,2930	6,3272	10,6080	18,8304	3,1572
131	0,0142	1,5000	0,5040	0,8450	0,0307	0,1071	0,9533	151,1192	5,6049	9,3790	16,6811	3,2933
132	0,0063	1,5000	0,4030	0,8450	0,0214	0,1013	0,7401	190,9574	6,8118	14,2829	25,3543	5,4945
133	0,0093	1,5000	0,4030	0,8450	0,0249	0,1443	0,8763	179,2051	5,5846	11,7096	20,7863	5,4397
134	0,0115	1,5000	0,4030	0,8450	0,0291	0,1617	0,8501	152,5874	4,9874	10,4574	18,5635	5,4879
135	0,0067	1,2000	0,6060	0,8450	0,0218	0,0689	0,6100	151,3462	9,9025	13,8080	19,6089	3,0241
136	0,0095	1,2000	0,6060	0,8450	0,0260	0,0851	0,6774	136,6169	8,2974	11,5698	16,4305	3,1724
137	0,0119	1,2000	0,6060	0,8450	0,0293	0,0978	0,7191	126,8075	7,3952	10,3118	14,6439	3,2783
138	0,0064	1,2000	0,5040	0,8450	0,0217	0,0783	0,6757	172,5972	8,4460	14,1605	20,1095	3,2937
139	0,0093	1,2000	0,5040	0,8450	0,0255	0,0915	0,7838	160,0743	6,9765	11,6968	16,6108	3,4457
140	0,0128	1,2000	0,5040	0,8450	0,0299	0,1112	0,8657	146,1048	5,9166	9,9197	14,0871	3,5948
141	0,0062	1,2000	0,4030	0,8450	0,0213	0,0729	0,7810	202,1674	6,8316	14,3243	20,3422	3,3110
142	0,0102	1,2000	0,4030	0,8450	0,0266	0,1055	0,9123	175,8930	5,3066	11,1266	15,8012	3,7928
143	0,0069	1,2000	0,6060	0,8450	0,0219	0,0763	0,6306	153,2885	9,7288	13,5657	14,4487	3,2942
144	0,0102	0,9000	0,6060	0,8450	0,0264	0,0974	0,7250	139,9341	7,9878	11,1381	11,8631	3,5050
145	0,0129	0,9000	0,6060	0,8450	0,0307	0,1106	0,7262	122,0533	7,0891	9,8850	10,5284	3,5639
146	0,0069	0,9000	0,5040	0,8450	0,0223	0,0849	0,6970	170,2148	8,1241	13,6207	14,5073	3,6794

	<b>Q</b>	<b>L</b>	<b>h</b>	<b>P</b>	<b>d<sub>1</sub></b>	<b>d<sub>2</sub></b>	<b>E<sub>L</sub></b>	<b>E<sub>L</sub>/E</b>	<b>h/d<sub>c</sub></b>	<b>P/d<sub>c</sub></b>	<b>L/d<sub>c</sub></b>	<b>d<sub>2</sub>/y</b>
147	0.0072	1.5000	0.7110	0.9500	0.0223	0.0594	0.6468	153.3951	11.1747	14.9310	23.5753	2.5146
148	0.0103	1.5000	0.7110	0.9500	0.0263	0.0794	0.7479	143.6915	9.3334	12.4708	19.6908	2.8464
149	0.0127	1.5000	0.7110	0.9500	0.0302	0.0896	0.7499	126.9486	8.3686	11.1817	17.6554	2.9036
150	0.0155	1.5000	0.7110	0.9500	0.0332	0.1060	0.8141	122.4619	7.5532	10.0921	15.9349	3.1240
151	0.0065	1.5000	0.6090	0.9500	0.0212	0.0598	0.7241	182.8707	10.1050	15.7631	24.8891	2.6624
152	0.0108	1.5000	0.6090	0.9500	0.0272	0.0847	0.8468	158.0377	7.7959	12.1611	19.2017	2.9662
153	0.0151	1.5000	0.6090	0.9500	0.0325	0.1119	0.9239	140.9428	6.5499	10.2175	16.1328	3.3358
154	0.0077	1.5000	0.5080	0.9500	0.0230	0.0745	0.8580	196.5226	7.7521	14.4971	22.8901	3.0694
155	0.0118	1.5000	0.5080	0.9500	0.0287	0.1017	0.9467	167.9135	6.2223	11.6362	18.3730	3.4188
156	0.0153	1.5000	0.5080	0.9500	0.0328	0.1210	1.0115	153.6367	5.4425	10.1779	16.0706	3.5942
157	0.0085	1.2000	0.7110	0.9500	0.0245	0.0777	0.6560	141.6314	10.3232	13.7933	17.4231	3.0582
158	0.0120	1.2000	0.7110	0.9500	0.0285	0.0984	0.7836	137.1501	8.6128	11.5079	14.5363	3.2746
159	0.0147	1.2000	0.7110	0.9500	0.0318	0.1120	0.8243	128.0424	7.7682	10.3794	13.1108	3.3879
160	0.0074	1.2000	0.6090	0.9500	0.0227	0.0758	0.7425	173.3418	9.4604	14.7576	18.6412	3.1768
161	0.0104	1.2000	0.6090	0.9500	0.0261	0.0944	0.8667	165.7247	7.9619	12.4200	15.6884	3.3713
162	0.0137	1.2000	0.6090	0.9500	0.0303	0.1141	0.9236	149.7911	6.9082	10.7763	13.6121	3.5735
163	0.0067	1.2000	0.5080	0.9500	0.0218	0.0788	0.8102	200.7023	8.2897	15.5024	19.5820	3.4542
164	0.0108	1.2000	0.5080	0.9500	0.0267	0.1058	0.9740	181.3626	6.4902	12.1371	15.3311	3.6984
165	0.0072	0.9000	0.7110	0.9500	0.0224	0.0763	0.6307	150.2595	11.2187	14.9899	14.2009	3.2418
166	0.0102	0.9000	0.7110	0.9500	0.0259	0.0963	0.7535	145.7942	9.3912	12.5480	11.8876	3.4720
167	0.0132	0.9000	0.7110	0.9500	0.0289	0.1120	0.8673	143.8788	8.2242	10.9887	10.4104	3.5716
168	0.0065	0.9000	0.6090	0.9500	0.0212	0.0773	0.7178	181.2664	10.1050	15.7631	14.9335	3.4415
169	0.0096	0.9000	0.6090	0.9500	0.0248	0.0978	0.8678	173.2788	8.2670	12.8959	12.2171	3.6168

## 試験観測及計算資料 S=40° (201~292)

	Q	L	h	P	d <sub>1</sub>	d <sub>2</sub>	E <sub>L</sub>	E <sub>L/E</sub>	h/d <sub>e</sub>	P/d <sub>e</sub>	L/d <sub>e</sub>	d <sub>2</sub> /y
201	0.0040	0.8700	0.7110	0.9250	0.0153	0.0549	0.5964	168.3043	15.1833	19.7532	18.5787	3.3031
202	0.0063	0.8700	0.7110	0.9250	0.0198	0.0732	0.6507	139.3840	12.0353	15.6577	14.7267	3.5550
203	0.0086	0.8700	0.7110	0.9250	0.0233	0.0870	0.7179	127.4543	10.2510	13.3364	12.5434	3.6424
204	0.0056	0.8700	0.6090	0.9250	0.0181	0.0743	0.7773	177.7321	10.8975	16.5521	15.5679	3.7985
205	0.0074	0.8700	0.6090	0.9250	0.0213	0.0851	0.8018	155.9666	9.4848	14.4064	13.5498	3.8248
206	0.0094	0.8700	0.6090	0.9250	0.0246	0.0887	0.8270	139.3835	8.3931	12.7481	11.9901	3.5612
207	0.0106	0.8700	0.6090	0.9250	0.0264	0.1100	0.8339	130.5620	7.8818	11.9715	11.2597	4.1678
208	0.0058	0.8700	0.5030	0.9250	0.0190	0.0807	0.8263	186.1889	8.9785	16.3487	15.3766	4.0789
209	0.0079	0.8700	0.5080	0.9250	0.0277	0.0957	0.8653	161.8246	7.6468	13.9238	13.0959	4.1671
210	0.0092	0.8700	0.5080	0.9250	0.0249	0.0997	0.8817	150.1548	7.0630	12.8607	12.0960	4.0352
211	0.0042	0.8700	0.4100	0.9250	0.0175	0.0655	1.1612	314.7958	8.4565	19.0788	17.9444	3.8149
212	0.0055	1.1100	0.7110	0.9250	0.0190	0.0585	1.2422	286.1371	12.8026	16.6560	19.9877	3.0080
218	0.0071	1.1100	0.7110	0.9250	0.0217	0.0741	1.2855	254.6316	11.2483	14.6339	17.5607	3.3793
214	0.0091	1.1100	0.7110	0.9250	0.0236	0.0845	1.4076	241.3162	9.9405	12.9324	15.5189	3.4375
215	0.0106	1.1100	0.7110	0.9250	0.0255	0.0934	1.4529	226.9562	9.1835	11.9475	14.3370	3.5323
216	0.0120	1.1100	0.7110	0.9250	0.0278	0.0990	0.8001	116.3119	8.6286	11.2257	13.4708	3.5339
217	0.0053	1.1100	0.6090	0.9250	0.0182	0.0635	0.7126	169.5864	11.2684	17.1154	20.5385	3.3476
218	0.0071	1.1100	0.6090	0.9250	0.0212	0.0774	0.7730	153.8267	9.6730	14.6921	17.6306	3.5428
219	0.0084	1.1100	0.6090	0.9250	0.0238	0.0843	0.7627	137.5195	8.8840	13.4937	16.1925	3.5655
220	0.0097	1.1100	0.6090	0.9250	0.0253	0.0922	0.8181	134.9319	8.2405	12.5160	15.0196	3.6398
221	0.0106	1.1100	0.6090	0.9250	0.0268	0.0965	0.8190	128.0785	7.8739	11.9595	14.3514	3.6529
222	0.0043	1.1100	0.5080	0.9250	0.0169	0.0609	0.7438	199.8365	10.3996	18.9364	23.1236	3.5223
223	0.0065	1.1100	0.5080	0.9250	0.0206	0.0761	0.8275	173.7615	8.4529	15.3915	18.4698	3.6374

	<b>Q</b>	<b>L</b>	<b>h</b>	<b>P</b>	<b>d<sub>1</sub></b>	<b>d<sub>2</sub></b>	<b>E<sub>L</sub></b>	<b>E<sub>L/E</sub></b>	<b>h/d<sub>e</sub></b>	<b>P/d<sub>e</sub></b>	<b>L/d<sub>e</sub></b>	<b>d<sub>2</sub>/y</b>
224	0,0087	1,1100	0,5080	0,9250	0,0235	0,0889	0,9181	162,1801	7,2819	13,2594	15,9112	3,7002
225	0,0103	1,1100	0,5080	0,9250	0,0258	0,0984	0,9531	151,5323	6,6618	12,1302	14,5563	3,7739
226	0,0056	1,1100	0,5080	0,9250	0,0189	0,0713	0,9184	209,5953	7,3252	16,5263	19,8316	3,6399
227	0,0071	1,1100	0,4100	0,9250	0,0216	0,0814	0,9367	186,9583	6,5295	14,7312	17,6775	3,3752
228	0,0050	1,3500	0,7110	0,9250	0,0184	0,0458	0,5595	136,9325	13,4637	17,5161	25,5641	2,4392
229	0,0070	1,3500	0,7110	0,9250	0,0212	0,0598	0,6574	132,2268	11,3991	14,8301	21,6439	2,7611
230	0,0089	1,3500	0,7110	0,9250	0,0244	0,0720	0,6915	120,0004	10,0415	13,0638	19,0661	2,9561
231	0,0104	1,3500	0,7110	0,9250	0,0268	0,0798	0,7080	111,6426	9,2577	12,0442	17,5780	3,0405
232	0,0119	1,3500	0,6090	0,9250	0,0286	0,0851	0,8470	123,5202	7,4112	11,2567	16,4287	3,0455
233	0,0045	1,3500	0,6090	0,9250	0,0176	0,0461	0,6304	165,4548	12,2174	18,5568	27,0828	2,6165
234	0,0065	1,3500	0,6090	0,9250	0,0208	0,0627	0,7287	152,0182	10,0767	15,3053	22,3375	2,9813
235	0,0085	1,3500	0,6090	0,9250	0,0232	0,0722	0,8305	147,5930	8,7906	13,3519	19,4866	3,0265
236	0,0103	1,3500	0,6090	0,9250	0,0257	0,0842	0,8638	137,4928	7,9945	12,1427	17,7217	3,2324
237	0,0122	1,3500	0,6090	0,9250	0,0288	0,0937	0,8557	123,3407	7,3363	11,1438	16,2640	3,3221
238	0,0057	1,3500	0,5080	0,9250	0,0193	0,0635	0,8098	183,1247	9,0062	16,3990	23,9337	3,2187
239	0,0079	1,3500	0,5080	0,9250	0,0221	0,0748	0,9238	172,5135	7,6374	13,9066	20,2962	3,2533
240	0,0098	1,3500	0,5080	0,9250	0,0252	0,0865	0,9361	153,8048	6,8519	12,4764	18,2088	3,4047
241	0,0067	1,3500	0,4100	0,9250	0,0206	0,0716	0,9649	198,0955	6,6905	15,0944	22,0297	3,3608
242	0,0090	1,3500	0,4100	0,7150	0,0239	0,0846	1,0330	178,2814	5,7644	13,0050	18,9803	3,4592
243	0,0057	1,3500	0,5010	0,7150	0,0206	0,0546	0,5236	119,0676	8,9233	12,7348	24,0448	2,7794
244	0,0076	1,3500	0,5010	0,7150	0,0228	0,0682	0,6342	121,2142	7,6840	10,9661	20,7053	3,0218
245	0,0092	1,3500	0,5010	0,7150	0,0254	0,0794	0,6634	112,6802	6,9503	9,9191	18,7283	3,2071
246	0,0109	1,3500	0,5010	0,7150	0,0274	0,0876	0,7186	110,3400	6,3756	9,0989	17,1798	3,2676

	<b>Q</b>	<b>L</b>	<b>h</b>	<b>P</b>	<b>d<sub>1</sub></b>	<b>d<sub>2</sub></b>	<b>E<sub>L</sub></b>	<b>E<sub>L/E</sub></b>	<b>h/d<sub>c</sub></b>	<b>P/d<sub>c</sub></b>	<b>L/d<sub>c</sub></b>	<b>d<sub>2</sub>/y</b>
247	0,0053	1,3500	0,3990	0,7150	0,0190	0,0545	0,6639	157,6790	7,3705	13,2077	24,9376	2,8689
248	0,0073	1,3500	0,3999	0,7150	0,0226	0,0718	0,7154	139,5745	6,2304	11,1646	21,0800	3,2348
249	0,0093	1,3500	0,3990	0,7150	0,0252	0,0841	0,7870	132,8130	5,5049	9,8648	18,6258	3,299
250	0,0058	1,3500	0,2980	0,7150	0,0198	0,0479	0,7801	175,7735	5,2669	12,6371	23,8603	2,4211
251	0,0080	1,3500	0,2980	0,7150	0,0231	0,0797	0,8613	159,9371	4,4583	10,6969	20,1969	3,4507
252	0,0044	1,1100	0,5010	0,7150	0,0177	0,0512	0,5037	134,4837	10,1992	14,5559	22,5973	2,9459
253	0,0068	1,1100	0,5010	0,7150	0,0214	0,0702	0,6175	126,1782	8,1419	11,6197	18,0390	8,2825
254	0,0088	1,1100	0,5010	0,7150	0,0250	0,0814	0,6386	111,4485	7,1241	10,1671	15,7838	3,3659
255	0,0045	1,1100	0,3990	0,7150	0,0182	0,0555	0,6051	157,4814	7,9468	14,2405	22,1076	3,1290
256	0,0069	1,1100	0,3990	0,7150	0,0218	0,0763	0,7013	142,3863	6,4490	11,5565	17,9049	3,5497
257	0,0087	1,1100	0,3990	0,7150	0,0243	0,0891	0,7701	135,3043	5,6997	10,2138	15,8563	3,6981
258	0,0045	1,1100	0,2980	0,7150	0,0177	0,0634	0,7186	189,0026	5,9892	14,3700	22,3087	3,6045
259	0,0067	1,1100	0,2980	0,7150	0,0211	0,0765	0,8295	170,2947	4,8629	11,6676	18,1133	3,5908
260	0,0047	0,8700	0,5010	0,7150	0,0178	0,0580	0,5479	139,8768	9,8196	14,0140	17,0520	3,2222
261	0,0069	0,8700	0,5010	0,7150	0,0211	0,0720	0,6467	131,3059	8,0977	11,5565	14,0618	3,3496
262	0,0090	0,8700	0,5010	0,7150	0,0253	0,0871	0,6442	110,8904	7,0280	10,0300	12,2043	3,5541
263	0,0046	0,8700	0,3990	0,7150	0,0177	0,0625	0,6359	164,7845	7,9183	14,1894	17,2655	3,5120
264	0,0067	0,8700	0,3990	0,7150	0,0215	0,0760	0,7056	144,6260	6,5021	11,6516	141,774	3,5628
265	0,0089	0,8700	0,3990	0,7150	0,0244	0,0918	0,7855	136,3068	5,6351	10,0980	12,2870	3,7691
266	0,0053	0,8700	0,2980	0,7150	0,0194	0,0739	0,7396	174,6708	5,4781	13,1438	15,9931	3,8728
267	0,0071	0,8700	0,2980	0,8200	0,0219	0,0893	0,8210	163,1302	4,7270	11,3416	13,8002	4,0825
268	0,0054	0,8700	0,6060	0,8200	0,0198	0,0630	0,5320	124,4076	11,0510	14,9535	15,8653	3,2774
269	0,0078	0,8700	0,6060	0,8200	0,0229	0,0810	0,6514	122,3452	9,1558	12,3890	13,1445	3,5392

<i>270</i>	<i>Q</i>	<i>L</i>	<i>h</i>	<i>P</i>	<i>d<sub>1</sub></i>	<i>d<sub>2</sub></i>	<i>E<sub>b</sub></i>	<i>E<sub>L/E</sub></i>	<i>h/d<sub>e</sub></i>	<i>P/d<sub>e</sub></i>	<i>L/d<sub>e</sub></i>	<i>d<sub>2</sub>/y<sub>s</sub></i>
270	0.0096	0.8700	0.6060	0.8200	0.0251	0.0920	0.7372	121.1326	8.1737	11.0602	11.7346	3.6212
271	0.0058	0.8700	0.5040	0.8200	0.0202	0.0715	0.6532	147.1857	8.9078	14.4929	15.3767	3.6139
272	0.0081	0.8700	0.5040	0.8200	0.0229	0.0848	0.7883	144.9348	7.4763	12.1638	12.9055	3.6427
273	0.0092	0.8700	0.5040	0.8200	0.0251	0.0920	0.7664	131.0391	7.0307	11.4389	12.1364	3.7349
274	0.0091	0.8700	0.4030	0.8200	0.0192	0.0958	0.7670	176.6913	7.2566	14.7653	15.6656	4.9260
275	0.0077	0.8700	0.4030	0.8200	0.0222	0.1084	0.8693	164.4526	6.1267	12.4663	13.2265	4.7639
276	0.0047	1.1100	0.6060	0.8200	0.0180	0.0525	0.5419	137.6144	11.8359	16.0156	21.6797	2.9034
277	0.0070	1.1100	0.6060	0.8200	0.0215	0.0698	0.6407	128.4824	9.6897	13.1115	17.7484	3.2148
278	0.0091	1.1100	0.6060	0.8200	0.0245	0.0793	0.7022	120.5458	8.4819	11.4772	15.5362	3.2292
279	0.0052	1.1100	0.5040	0.8200	0.0189	0.0640	0.6625	157.9426	9.3408	15.1973	20.5720	3.3790
280	0.0073	1.1100	0.5040	0.8200	0.0220	0.0757	0.7468	146.1399	7.8903	12.8375	17.3775	3.4188
281	0.0096	1.1100	0.5040	0.8200	0.0249	0.0904	0.8297	138.0463	6.8710	11.1791	15.1327	3.5934
282	0.0053	1.1100	0.5040	0.8200	0.0190	0.0666	0.7659	181.1948	7.4203	15.0983	20.4380	3.4954
283	0.0074	1.1100	0.5040	0.8200	0.0220	0.0829	0.8613	166.8031	6.2523	12.7218	17.2209	3.7125
28	0.0060	1.3500	0.5040	0.8200	0.0198	0.0579	0.6182	135.6327	10.4708	14.1683	23.3259	2.8659
28:	0.0082	1.3500	0.5040	0.8200	0.0226	0.0676	0.7242	132.4166	8.9462	12.1054	19.9296	2.8909
28:	0.0101	1.3500	0.5040	0.8200	0.0258	0.0809	0.7320	117.9342	8.0375	10.8759	17.9054	3.1354
287	0.0071	1.3500	0.5040	0.8200	0.0209	0.0676	0.7940	158.4845	8.0265	13.0590	21.4996	3.1019
288	0.0091	1.3500	0.5040	0.8200	0.0243	0.0802	0.8248	141.0339	7.0307	11.4389	18.8323	3.2559
289	0.0109	1.3500	0.5040	0.8200	0.0263	0.0870	0.8878	136.7764	6.4327	10.4659	17.2305	3.2541
290	0.0070	1.3500	0.4030	0.8200	0.0209	0.0684	0.8839	177.5176	6.4524	13.1290	21.6149	3.1543
291	0.0092	1.3500	0.4030	0.8200	0.0241	0.0830	0.9440	160.9902	5.6093	11.4135	18.7905	3.3627
292	0.0107	1.3500	0.4030	0.8200	0.0261	0.0930	0.9787	152.3547	5.1897	10.5596	17.3848	3.5074

## 試験観測及計算資料 S=50% (301~429)

	Q	L	h	P	d <sub>1</sub>	d <sub>2</sub>	E <sub>L</sub>	E <sub>L</sub> /E	h/d <sub>c</sub>	P/d <sub>c</sub>	L/d <sub>c</sub>	d <sub>2</sub> /γ
301	0,0042	0,7200	0,7110	0,9600	0,0148	0,0647	0,7306	171,6000	14,7200	19,8800	14,9100	3,9880
302	0,0046	0,7200	0,6090	0,9600	0,0156	0,0677	0,8281	186,0001	12,1300	19,1200	14,3400	4,0240
303	0,0072	0,7200	0,6090	0,9600	0,0195	0,0878	0,9713	165,0000	9,5830	15,1100	11,3300	4,2020
304	0,0196	0,7200	0,6090	0,9600	0,0224	0,1016	1,0720	153,9000	8,3030	13,0300	9,8160	4,2590
305	0,0122	0,7200	0,6090	0,9600	0,0260	0,0922	1,1170	138,4000	7,3170	11,5300	8,6510	3,4390
306	0,0144	0,7200	0,6090	0,9600	0,0281	0,1220	1,1810	133,0000	6,7340	10,6200	7,9620	4,2140
307	0,0039	0,7200	0,5080	0,9600	0,0153	0,0647	0,7800	191,1000	10,9100	20,6200	15,4700	4,1260
308	0,0069	0,7200	0,5080	0,9600	0,0178	0,0702	1,0150	193,0000	8,8040	16,6400	12,4800	3,6720
309	0,0078	0,7200	0,5080	0,9600	0,0200	0,0691	1,1420	184,9000	7,6750	14,5000	10,8800	3,1840
310	0,0042	0,7200	0,7110	0,9600	0,0160	0,0705	0,6033	142,9000	14,8300	20,0300	15,0200	4,3760
311	0,0066	0,7200	0,7110	0,9600	0,0195	0,0892	0,7483	134,5000	11,7500	15,8600	11,9200	4,4660
312	0,0085	0,7200	0,7110	0,9600	0,0226	0,1034	0,7862	121,2000	10,2900	13,8300	10,4200	4,5760
313	0,0033	0,7200	0,7110	0,9600	0,0249	0,1110	0,8353	115,1000	9,3530	12,6300	9,4710	4,5000
314	0,0055	0,8400	0,7110	0,9600	0,0151	0,0491	0,5061	138,4000	16,8100	22,6800	19,8500	3,4250
315	0,0079	0,8400	0,7110	0,9600	0,0183	0,0703	0,6804	135,9000	12,8200	17,3100	15,1500	3,8130
316	0,0097	0,8400	0,7110	0,9600	0,0207	0,0842	0,8658	139,9000	10,7200	14,4700	12,6600	3,8710
317	0,0113	0,8400	0,7110	0,9600	0,0231	0,0995	0,9287	131,6000	9,6210	12,9300	11,3700	4,1400
318	0,0038	0,8400	0,7110	0,9600	0,0254	0,1063	0,9325	121,3030	8,9200	12,0300	10,5300	4,1210
319	0,0063	0,8400	0,6090	0,9600	0,0146	0,0595	0,7645	189,5000	13,2100	20,8300	18,2300	3,8320
320	0,0081	0,8400	0,6090	0,9600	0,0181	0,0785	0,9499	174,5000	10,2500	16,1600	14,1400	3,9370
321	0,0108	0,8400	0,6090	0,9600	0,0206	0,0949	1,0220	161,6000	9,0120	14,2100	12,4300	4,2850
322	0,0108	0,8400	0,6090	0,9600	0,0247	0,1078	1,0330	137,8000	7,7960	12,2900	10,7500	4,2630

N <sup>o</sup>	$\frac{d_1}{d_e}$	L	h	P	d <sub>1</sub>	d <sub>2</sub>	E <sub>L</sub>	E <sub>L</sub> /E	h/d <sub>e</sub>	P/d <sub>e</sub>	L/d <sub>e</sub>	d <sub>2</sub> 'y
323	0,0038	0,8400	0,5080	0,5600	0,0153	0,0651	0,7913	198,0000	11,0700	20,9200	18,3000	4,2090
324	0,0066	0,8400	0,5080	0,9600	0,0181	0,0887	1,0970	196,9000	8,3820	15,8400	13,8600	4,4350
325	0,0096	0,8400	0,5080	0,9600	0,0231	0,1025	1,1030	153,2000	6,9260	13,0300	11,4500	4,2970
326	0,0178	0,8400	0,5080	0,9600	0,0263	0,1156	1,1180	141,6000	6,2220	11,7600	10,2900	4,3890
327	0,0047	0,8400	0,4100	0,9600	0,0181	0,0702	0,8578	189,1000	8,0360	18,8200	16,4900	4,1110
328	0,0067	0,8400	0,4100	0,9600	0,0200	0,0785	1,0330	183,9000	6,7180	15,7300	13,7600	3,9000
329	0,0044	0,9600	0,4100	0,9600	0,0165	0,0716	0,9207	209,9000	8,2700	19,3600	19,3600	4,3070
330	0,0073	0,9600	0,4100	0,9600	0,0201	0,0952	1,1120	188,2000	6,4360	15,0700	15,0700	4,5450
331	0,0058	0,9600	0,7110	0,9600	0,0185	0,0713	0,7122	138,0000	12,5100	16,8900	16,8900	3,7810
332	0,0078	0,9600	0,7110	0,9600	0,0210	0,0845	0,8306	134,6000	10,7400	14,5000	14,5000	3,8930
333	0,0099	0,9600	0,7110	0,9600	0,0240	0,0944	0,8716	122,8000	9,5290	12,8700	12,8700	3,8930
334	0,0117	0,9600	0,7110	0,9600	0,0253	0,1053	1,0020	127,5000	8,7410	11,8000	11,8100	4,0120
335	0,0040	0,9600	0,6090	0,9600	0,0159	0,0469	0,7004	168,9000	12,5000	20,3400	20,3400	2,9540
336	0,0066	0,9600	0,6090	0,9600	0,0191	0,0837	0,8973	160,8000	10,0300	15,8200	15,8200	4,1790
337	0,0089	0,9600	0,6090	0,9600	0,0218	0,1013	1,0250	153,7000	8,6110	13,5700	13,5700	4,3890
338	0,0108	0,9600	0,6090	0,9600	0,0247	0,1108	1,0280	137,3000	7,8040	12,3000	12,3000	4,3850
339	0,0124	0,9600	0,6090	0,9600	0,0270	0,1200	1,0360	127,1000	7,2580	11,4400	11,4400	4,4420
340	0,0057	0,9600	0,5080	0,9600	0,0182	0,0854	0,9150	178,9000	9,0060	17,0200	17,0200	4,5610
341	0,0080	0,9600	0,5080	0,9600	0,0210	0,0984	1,0590	168,9000	7,5720	14,3100	14,3100	4,4770
342	0,0100	0,9600	0,5080	0,9600	0,0229	0,1114	1,1900	166,2000	6,7590	12,7700	12,7700	4,5640
343	0,0031	0,9600	0,4100	0,9600	0,0129	0,0577	0,9350	263,5000	9,9300	23,2700	23,2700	4,1220
344	0,0053	0,9600	0,4000	0,9600	0,0173	0,0810	1,0210	208,2000	7,5370	17,6500	17,6500	4,4740

	<b>Q</b>	<b>L</b>	<b>h</b>	<b>P</b>	<b>d<sub>1</sub></b>	<b>d<sub>2</sub></b>	<b>E<sub>L</sub></b>	<b>E<sub>L/E</sub></b>	<b>h/d<sub>e</sub></b>	<b>P/d<sub>e</sub></b>	<b>L/d<sub>e</sub></b>	<b>d<sub>2</sub>/y</b>
345	0.0076	0.9600	0.4100	0.9600	0.0201	0.0984	1.1730	193.1000	6.2800	14.7100	14.7100	4.5920
346	0.0037	1.0800	0.7110	0.9600	0.0148	0.0445	0.6103	155.6000	15.7900	21.3500	24.0200	2.9330
347	0.0067	1.0800	0.7110	0.9600	0.0182	0.0741	0.9126	162.5000	11.6300	15.7300	17.7000	3.6810
348	0.0089	1.0800	0.7110	0.9600	0.0216	0.0890	0.9563	143.3000	10.0300	13.5600	15.2500	3.8520
349	0.0011	1.0800	0.7110	0.9600	0.0237	0.1005	1.0570	140.1000	9.0350	12.2200	13.7400	3.9530
350	0.0028	1.0800	0.6090	0.9600	0.0129	0.0384	0.6704	200.2000	15.5000	24.4300	27.4800	2.8680
351	0.0057	1.0800	0.6090	0.9600	0.0168	0.0702	0.9554	187.9000	10.8500	17.1000	19.2400	3.7650
352	0.0082	1.0800	0.6090	0.9600	0.0208	0.0888	1.0120	159.6000	8.9300	14.1700	15.9400	4.0040
353	0.0101	1.0800	0.6090	0.9500	0.0239	0.1065	1.0030	139.6000	8.0770	12.7300	14.3200	4.3500
354	0.0032	1.0800	0.5080	0.9600	0.0139	0.0483	0.7758	215.1000	12.1400	22.9500	25.8200	3.4410
355	0.0050	1.0800	0.5080	0.9600	0.0165	0.0679	0.9348	199.2000	9.6690	18.2700	20.5600	3.8650
356	0.0078	1.0800	0.5080	0.9600	0.0200	0.0906	1.1310	183.2000	7.6750	14.5000	16.3200	4.1740
357	0.0095	1.0800	0.5080	0.9600	0.0220	0.1054	1.2040	173.8000	6.9480	13.1300	14.7700	4.4280
358	0.0033	1.0800	0.4100	0.7600	0.0139	0.0520	0.9094	244.9000	9.5610	22.3900	25.1900	3.5830
359	0.0061	1.0800	0.4100	0.9600	0.0181	0.0841	1.0940	206.0000	7.0420	16.4900	18.5500	4.3630
360	0.0089	1.0800	0.4100	0.9600	0.0217	0.1037	1.2250	184.3000	5.8100	13.6000	15.3000	4.5020
361	0.0038	1.2000	0.7100	0.9600	0.0151	0.0425	0.6176	153.8000	15.4700	20.5200	26.1500	2.7480
362	0.0066	1.2000	0.7100	0.9600	0.0191	0.0675	0.8021	144.0000	11.7200	15.8100	19.8000	3.3750
363	0.0088	1.2000	0.7100	0.9600	0.0213	0.0807	0.9689	146.5000	10.1100	13.6700	17.0800	3.5180
364	0.0108	1.2000	0.7100	0.9600	0.0236	0.0935	1.0450	139.8000	9.1070	12.3100	15.3900	3.7040
365	0.0127	1.2000	0.7100	0.9600	0.0259	0.1057	1.0930	132.1000	8.3500	11.2900	14.1100	3.8650
366	0.0029	1.1000	0.6090	0.9600	0.0131	0.0335	0.6818	198.2000	15.1600	23.8900	29.8600	2.4520

	<b>Q</b>	<b>L</b>	<b>h</b>	<b>P</b>	<b>d<sub>1</sub></b>	<b>d<sub>2</sub></b>	<b>E<sub>L</sub></b>	<b>E<sub>L/E</sub></b>	<b>h/d<sub>o</sub></b>	<b>P/d<sub>o</sub></b>	<b>L/d<sub>o</sub></b>	<b>d<sub>2/y</sub></b>
367	0.0056	1,2000	0,6090	0,9600	0,0179	0,0536	0,8351	165,1000	10,5000	17,1800	21,4700	3,4250
368	0.0080	1,2000	0,6090	0,9600	0,0200	0,0797	1,0660	170,7000	9,1110	14,3600	17,9500	3,6390
369	0.0106	1,2000	0,6090	0,9600	0,0229	0,0984	1,1830	160,9000	7,8900	12,4400	15,5500	3,9340
370	0.0038	1,2000	0,5080	0,9600	0,0151	0,0491	0,8166	203,8000	11,0300	20,9600	26,2000	3,1840
371	0.0067	1,2000	0,5089	0,9600	0,0192	0,0782	1,0190	180,3000	8,2780	15,6400	19,5500	3,8650
372	0.0097	1,2000	0,5080	0,9600	0,0225	0,1008	1,1800	168,6000	6,8890	13,0200	16,2700	4,2020
373	0.0036	1,2000	0,4100	0,9600	0,0146	0,0497	0,9127	235,0000	9,1950	21,5300	26,9100	3,3020
374	0.0064	1,2000	0,4100	0,9600	0,0189	0,0824	1,0860	197,5000	6,8420	16,0200	20,0200	4,1630
375	0.0093	1,3200	0,4100	0,9600	0,0225	0,1041	1,2230	178,3000	5,6570	13,2500	16,5600	4,4090
376	0.0045	1,3200	0,7110	0,9600	0,0139	0,0423	0,9182	208,8000	14,3200	18,3300	26,5800	2,5400
377	0.0070	1,3200	0,7110	0,9600	0,0190	0,0675	0,8836	153,3000	11,4000	15,3900	21,1600	3,2860
378	0.0095	1,3200	0,7110	0,9600	0,0227	0,0836	0,9467	135,9000	9,7040	13,1000	18,0200	3,5090
379	0.0040	1,3200	0,6090	0,9600	0,0155	0,0404	0,7135	174,0000	13,0300	20,5400	28,2400	2,5680
380	0.0068	1,3200	0,6090	0,9600	0,0197	0,0695	0,8794	155,3000	9,9110	15,6200	21,4800	3,4310
381	0.0091	1,3200	0,6090	0,9600	0,0224	0,0856	1,0070	149,2000	8,5140	13,4200	18,4500	3,6700
382	0.0114	1,3200	0,6090	0,9600	0,0249	0,0978	1,1080	143,0000	7,5800	11,9500	16,4300	3,7690
383	0.0032	1,3200	0,5080	0,9600	0,0142	0,0339	0,7656	203,4000	12,0100	22,6900	31,2000	2,3650
384	0.0060	1,3200	0,5080	0,9600	0,0187	0,0651	0,9385	177,9000	8,7770	16,5900	22,8100	3,3960
385	0.0085	1,3200	0,5080	0,9600	0,0210	0,0860	1,1450	176,9000	7,3670	13,9200	19,1400	3,8140
386	0.0105	1,3200	0,4100	0,9600	0,0233	0,0960	1,3360	181,3000	5,3220	12,4600	17,1400	3,8450
387	0.0054	1,3200	0,4100	0,9600	0,0190	0,0647	0,9120	184,1000	7,4890	17,5300	24,1100	3,5560

	<b>Q</b>	<b>L</b>	<b>h</b>	<b>P</b>	<b>d<sub>1</sub></b>	<b>d<sub>2</sub></b>	<b>E<sub>L</sub></b>	<b>E<sub>L/E</sub></b>	<b>h/d<sub>e</sub></b>	<b>P/d<sub>e</sub></b>	<b>L/d<sub>e</sub></b>	<b>d<sub>s/y</sub></b>
388	0,0093	1,3200	0,4100	0,9600	0,0219	0,0974	1,2810	187,4000	5,6750	18,2500	18,2700	4,1380
389	0,0037	1,2000	0,5010	0,7500	0,0150	0,0393	0,6040	152,5000	11,0500	16,5400	26,4700	2,5700
390	0,0068	1,2000	0,5010	0,7500	0,0202	0,0713	0,7462	130,9000	8,1090	12,1400	19,4200	3,5020
391	0,0093	1,2000	0,5010	0,7500	0,0225	0,0895	0,9285	135,6000	6,9200	10,3600	16,5700	3,7940
392	0,0060	1,2000	0,3990	0,7500	0,0187	0,0712	0,8347	158,2000	6,8940	12,9600	20,7300	3,7140
393	0,0093	1,2000	0,3990	0,7500	0,0227	0,0442	0,9596	140,5000	5,5230	10,3800	16,6100	1,8780
394	0,0059	1,2000	0,2980	0,7500	0,0186	0,0728	0,9308	177,7000	5,1800	13,0400	20,8600	3,8180
395	0,0100	1,2000	0,2980	0,7500	0,0222	0,1026	1,2800	178,6000	3,9610	9,9680	15,9500	4,1990
396	0,0047	0,9600	0,5010	0,7500	0,0170	0,0632	0,6356	140,2000	9,8200	14,7000	18,8200	3,7010
397	0,0077	0,9600	0,5010	0,7500	0,0199	0,0879	0,9120	146,4000	7,6450	11,4500	14,6500	4,0880
398	0,0100	0,9600	0,5010	0,7500	0,0234	0,1017	0,9337	130,9000	6,6870	10,0100	12,8100	4,1780
399	0,0047	0,9600	0,3900	0,7500	0,0170	0,0520	0,7507	165,5000	7,6440	14,7000	18,8200	3,0450
400	0,0074	0,9700	0,3900	0,7500	0,0198	0,0793	0,9860	165,2000	6,0660	11,6700	14,9800	3,7540
401	0,0098	0,9600	0,3900	0,7500	0,0222	0,0834	1,1520	163,1000	5,2550	10,1100	12,9800	3,4580
402	0,0059	0,9600	0,2980	0,7500	0,0195	0,0814	0,8518	162,9000	5,1884	13,0600	16,7100	4,2750
403	0,0090	0,9600	0,2980	0,7500	0,0224	0,1028	1,0820	161,2000	4,1900	10,5400	13,5000	4,4300
404	0,0047	0,7200	0,5010	0,7500	0,0164	0,0699	0,6774	149,7000	9,8870	14,7300	14,1400	4,1000
405	0,0073	0,7200	0,5010	0,7500	0,0198	0,0887	0,8483	143,4000	7,8540	11,7600	11,2900	4,2290
406	0,0097	0,7200	0,5010	0,7500	0,0222	0,1023	1,0230	145,3000	6,7650	10,1300	19,7220	4,2490
407	0,0047	0,7200	0,3990	0,7500	0,0162	0,0700	0,7973	176,2000	7,8340	14,7300	14,1400	4,1060
408	0,0073	0,7200	0,3990	0,7500	0,0194	0,0891	0,9991	168,4000	6,2380	11,7300	11,2600	4,2380

	<b>Q</b>	<b>L</b>	<b>h</b>	<b>P</b>	<b>d<sub>1</sub></b>	<b>d<sub>2</sub></b>	<b>E<sub>L</sub></b>	<b>E<sub>L/E</sub></b>	<b>h/d<sub>c</sub></b>	<b>P/d<sub>c</sub></b>	<b>L/d<sub>c</sub></b>	<b>d<sub>2</sub>/y</b>
409	0,0048	1,2000	0,6060	0,8550	0,0177	0,0530	0,6034	131,7000	11,7700	16,6100	23,3100	3,0780
410	0,0076	1,2000	0,6060	0,8550	0,0199	0,0765	0,9150	150,2000	9,2590	13,0600	18,3400	3,5620
411	0,0104	1,2000	0,6060	0,8550	0,0231	0,0923	1,0480	142,3000	7,5070	11,1600	15,6600	3,7140
412	0,0046	1,2000	0,5040	0,8550	0,0173	0,0534	0,7027	156,9000	9,9840	16,5400	23,7700	3,1580
413	0,0077	1,2000	0,5040	0,8550	0,0203	0,0825	0,9855	160,8000	7,6620	13,0000	18,2400	3,8230
414	0,0101	1,2000	0,5040	0,8550	0,0226	0,0963	1,1510	159,7000	6,6710	11,3200	15,8800	3,9260
415	0,0059	1,2000	0,4030	0,8550	0,0176	0,0718	1,0090	154,4000	7,0580	14,5700	21,0200	3,7920
416	0,0094	1,2000	0,4030	0,8550	0,0212	0,0972	1,2600	186,4000	5,5540	11,7800	16,5400	4,1120
417	0,0061	1,2000	0,3030	0,8550	0,0199	0,0747	0,9528	179,3000	5,2040	14,6700	20,6100	3,8760
418	0,0092	1,2000	0,3030	0,8550	0,0219	0,1030	1,2610	185,8000	4,2170	11,5000	16,7000	4,3960
419	0,0047	0,8400	0,6060	0,8550	0,0177	0,0647	0,5907	129,7000	11,8400	16,7000	16,4100	3,7760
420	0,0072	0,8400	0,6060	0,8550	0,0203	0,0839	0,7943	134,9000	9,5370	13,4600	18,2200	4,0150
421	0,0094	0,3400	0,6060	0,8550	0,0229	0,0978	0,8973	130,3000	8,3340	11,7600	11,5500	4,1300
422	0,0049	0,8400	0,5040	0,8550	0,0164	0,0706	0,8310	178,1000	9,6410	16,8600	16,0700	4,0420
423	0,0077	0,8400	0,5040	0,8550	0,0197	0,0930	1,0520	171,9000	7,6720	13,0100	12,7900	4,3150
434	0,0102	0,8400	0,5040	0,8550	0,0232	0,1092	1,0960	151,0000	6,6300	11,2500	11,0500	4,4270
425	0,0036	0,8400	0,4030	0,8550	0,0140	0,0665	0,8659	221,8000	9,0010	15,1000	18,7600	4,4000
426	0,0065	0,8400	0,4030	0,8550	0,0188	0,0897	1,0180	182,4000	6,6680	14,1500	13,9000	4,4960
427	0,9079	0,8400	0,4030	0,8550	0,0206	0,0974	1,0730	173,1000	6,0660	12,8700	12,6400	4,4720
428	0,0038	0,8400	0,3030	0,8550	0,0148	0,0688	0,9405	233,1000	6,5750	18,5500	18,2300	4,4310
429	0,0067	0,8400	0,3030	0,8550	0,0189	0,0778	1,1430	202,8000	4,9510	13,9700	13,7300	4,8550